

## ساخت و ارزیابی فیلم نانوهیدروژل پلیوینیل الکل / هیالورونیک اسید / اکسید روی به عنوان زخمپوش

**زمینه و هدف:** آسیب‌های پوستی می‌تواند عملکرد جیاتی آن را که محافظت از انسان‌ها در برابر عوامل بیماری‌زا می‌باشد، دچار اختلال کند لذا تولید یک زخم پوش مناسب برای ترمیم پوست همواره از چالش‌های محققین است. هدف از این مطالعه تولید یک فیلم هیدروژلی برای کاربرد به عنوان زخم پوش بود.

**روش اجرا:** در تحقیق حاضر فیلمی هیدروژلی از جنس پلیوینیل الکل/هیالورونیک اسید/نانو اکسید روی بهمنظور کاربرد به عنوان زخم پوش ساخته شد. برای این منظور سه فیلم با درصد‌های متفاوت از ترکیبات ذکر شده با استفاده از روش ریخته‌گری حلال تهیه گردید. نمونه‌های سنتز شده با استفاده از آزمون‌های FTIR، SEM، XRD، MTT و آزمون کشش ارزیابی شدند.

**یافته‌ها:** بررسی مورفولوژی نمونه‌ها نشان داد که افزایش نانوذرات اکسید روی منجر به ایجاد تخلخل و رشد اندازه آن‌ها در فیلم‌ها شد. همچنین مشخص گردید که درصد ازدیاد طول فیلم‌ها با افزایش نانو ذرات اکسید روی و هیالورونیک اسید افزایش یافته است. میزان درصد ازدیاد طول به ترتیب برای کمترین مقدار نانو اکسید روی تا بیشترین (۵، ۱۰ و ۱۵ درصد وزنی) به ترتیب برابر با ۱۵۹٪، ۱۶۶٪ و ۲۳۰٪ بود. مطالعه MTT حاکی از زنده‌مانی سلولی بالای ۸۰٪ بر هر سه فیلم بود.

**نتیجه‌گیری:** فیلم حاوی ۱۵٪ اکسید روی می‌تواند گزینه‌ی مناسبی برای کاربرد در ساخت زخمپوش‌ها و مهندسی بافت پوست باشد.

**کلیدواژه‌ها:** اکسید روی، پلیوینیل الکل، ریخته‌گری حلال، هیالورونیک اسید، ترمیم پوست دریافت مقاله: ۱۳۹۹/۰۹/۰۹ پذیرش مقاله: ۱۳۹۹/۱۰/۳۰

پوست و زیبایی؛ زمستان ۱۳۹۹، دوره‌ی ۱۱ (۴): ۲۶۷-۲۵۶

ملاحت خاطری رودبرده  
دکتر ناهید حسن‌زاده نعمتی

گروه مهندسی پزشکی، دانشکده‌ی علوم و  
فناوری‌های پزشکی، دانشگاه آزاد اسلامی،  
 واحد علوم و تحقیقات، تهران، ایران

نویسنده‌ی مسئول:  
دکتر ناهید حسن‌زاده نعمتی

بزرگراه شهید ستاری، میدان دانشگاه، بلوار  
شهدای حصارک، دانشگاه آزاد اسلامی،  
 واحد علوم و تحقیقات

پست الکترونیک:  
nahid\_hasanzadeh@yahoo.com

تعارض منافع: اعلام نشده است.

### مقدمه

زخم‌هایی که زمان ترمیم، بیشتر از ۱۲ هفته به طول بینجامد را زخم مزمن می‌گویند.<sup>۳</sup>

انتخاب پانسمان مناسب با توجه به نوع زخم یکی از پارامترهای کلیدی و مهم در مدیریت ترمیم زخم است. پانسمان‌ها به دو دسته سنتی و مدرن تقسیم‌بندی می‌شوند. پانسمان‌های سنتی عبارتند از گاز، گاز واژلینه و پنبه.<sup>۴</sup> پانسمان‌های مدرن نیز شامل هیدروکلوفیدها، فومها، آلزینات‌ها و هیدروژل‌ها می‌باشد.<sup>۵</sup> پانسمان‌های هیدروژلی قابلیت جذب بالایی

آسیب‌های پوستی از قبیل سوختگی، بریدگی، زخم‌های مزمن و تومورها می‌تواند مشکلات عمده‌ای را در روند طبیعی فیزیولوژیکی بدن ایجاد نمایند.<sup>۱</sup> چراکه عملکرد حیاتی پوست محافظت از انسان‌ها در برابر عوامل بیماری‌زا است.<sup>۲</sup> طبق تعریف انجمن ترمیم زخم، می‌توان زخم را «تخرب ساختمان آناتومیکی و عملکردی پوست» بیان و آن را به دو گروه زخم‌های مزمن و حاد تقسیم کرد. زخم‌هایی که سطحی هستند و در مدت ۸-۱۲ هفته بهبود می‌یابند را زخم حاد و

مطالعات پیشین نشان می‌دهد که زخم‌های به وجود آمده در اثر سوختگی در حضور روی بهبود می‌یابند و ضردادیکال‌های آزاد اکسیژنی می‌باشد.<sup>۱۷</sup>

Imaan و همکاران دارستی بر پایه‌ی پلی‌وینیل الکل و نانوکسید روی ساختند. نتایج مطالعه ایشان نشان داد که حضور نانوکسید روی موجب افزایش جذب آب (۸۵-۱۰۵ درصد) و کاهش جذب متانول (۱۷-۲۰ درصد) می‌شود.<sup>۱۸</sup>

Mirhosseini و همکاران فیلم نانوکامپوزیت کیتوسان/اکسید روی را به روش سل ژل ساختند. اثر ضدمیکروبی این نانوکامپوزیت بر روی باکتری‌های اشرشیاکلی و استافیلوکوکوس آرئوس ارزیابی شد و خاصیت آنتی‌باکتریال مورد تأیید قرار گرفت.<sup>۱۹</sup> همچنان Soubhagya و همکاران اثر افزودن اکسید روی به فیلم‌های کیتوسان/پکتین را بررسی کردند. ایشان متوجه ظهر خاصیت آنتی‌باکتریال بالاتر در فیلم‌های حاوی اکسید روی نسبت به نمونه‌های عاری ZnO از آن شدند. ایشان نشان دادند که نانوذرات زمانی که با اتصال به باکتری‌ها و قارچ‌ها می‌تواند به دیواره سلول آسیب برساند و عملکرد DNA را مختل کرده و درنهایت میکرووارگانیسم‌ها را به‌دلیل فعالیت فوتوكاتالیستی و تولید گونه‌های اکسیژن واکنش‌پذیر از بین ببرد.<sup>۲۰</sup>

Wu و همکاران هیدروژل کامپوزیتی هیالورونیک اسید/پلی‌وینیل الکل/کلاژن را ساختند. نمونه با درصدهای ۰/۰۵ درصد هیالورونیک اسید ۱۵ درصد و پلی‌وینیل الکل ۱ درصد کلاژن بیشترین میزان درصد از دیدار طول (۵۳۲ درصد) و بهترین مدول یانگ (۶۲/۱ Mpa) را داشتند.<sup>۲۱</sup>

هیالورونیک اسید، پلی‌وینیل الکل و نانوذرات اکسید روی به صورت ترکیبات دو تایی از هم یا همراه با اجزای دیگر در پوشش‌های زخم کاربرد مورد مطالعه قرار گرفته‌اند که در بالا به مواردی از این مطالعات اشاره شد. اما استفاده همزمان از سه جز اشاره شده در

از ترشحات را دارند. این پانسمان‌ها برای هر دو نوع زخم (مزمن و حاد) کاربرد دارند.<sup>۲۲</sup> استفاده از زخم‌پوش‌های مدرن به دلیل داشتن خواص منحصر به‌فردی از قبیل تسريع روند درمان و ایجاد یک محیط ایزوله بسیار مورد توجه قرار گرفته است.<sup>۲۳</sup>

پلی‌وینیل الکل (Polyvinyl Alcohol [PVA]) که در سال ۱۹۳۲ توسط Herman ساخته شد<sup>۲۴</sup>، یک پلی‌هیدروکسی محلول در آب است. غیرسمی‌بودن، زیست‌تخرب‌پذیری با قابلیت تولید فیلم با خواص مکانیکی مناسب<sup>۲۵</sup> از جمله خواص منحصر به‌فرد پلی‌وینیل الکل است.

اسید هیالورونیک (Hyaluronic Acid [HA]) در بافت‌های انسانی از قبیل مایع سینوویال، غضروف و غشاء میانی پوست یافت می‌شود. اسید هیالورونیک در انتقال سیگناال‌های سلولی در مواردی مانند سرطان، التهاب و ترمیم زخم نقش بسزایی دارد.<sup>۲۶</sup> اسید هیالورونیک ویژگی‌هایی از قبیل توانایی جذب آب بسیار، حامل بودن فاکتورهای رشد و سهولت اتصال به گیرنده‌ی متناسب سطح سلول دارد.<sup>۲۷</sup>

نانو ذرات اکسید روی (Zinc Oxide [ZnO]) یکی از ترکیباتی است که توسط سازمان دارو و غذای آمریکا (FDA) به عنوان یک ماده ضدغوفونی کننده برای کنترل میکروارگانیسم‌ها، تأیید شده است.<sup>۲۸</sup> از ویژگی‌های مهم اکسید روی می‌توان به سمیت پایین، قابلیت تجزیه‌ی زیستی، ضدغوفونی کننده<sup>۲۹</sup> و آنتی‌باکتریالی آن اشاره کرد. از این رو و همچنان با توجه به اثرگذاری نانوذرات اکسید روی در تکثیر فیبروبلاست‌ها، رگ‌زایی و ترمیم سریع تر زخم‌ها، کاربرد آن‌ها در ساخت پانسمان‌ها مرسوم شده است. اثربخشی ضد باکتریایی نانوذرات ZnO مربوط به انتشار یون‌های Zn<sup>2+</sup> از آن است که می‌تواند منجر به اختلال در سیستم آنزیمی شود.<sup>۳۰</sup> مواد مذکور در محدوده pH طبیعی (pH=۷) و در شرایط عدم حضور نور تأثیرگذار بر سنتز ویتامین E و C می‌باشند.<sup>۳۱</sup>

ایکس (XRD) مدل PW1730 استفاده شد. طول موج اشعه ایکس ۵۴/۱ آنگستروم، آند مس و فیلتر نیکل ۰۲۰ درجه و محدوده روبش (۲) بین ۱۰-۸۰ درجه انتخاب گردید.

ارزیابی خواص مکانیکی فیلم‌ها توسط دستگاه تست استحکام مدل ۲۰-SMT، انجام گرفت. فیلم‌ها طبق استاندارد ISO 6824 به ابعاد  $10 \times 60 \text{ mm}^2$  بر روی قاب کاغذی چسبانده شدند<sup>۲۱</sup> و تحت آزمون استحکام کششی قرار گرفتند. قاب کاغذی بین دو فک دستگاه کشش با فاصله ۳ سانتی‌متر و با نیروی اعمالی ۱۰ نیوتون، سرعت کشش ۱۰ میلی‌متر بر دقیقه، رطوبت ۳۰٪ و دمای  $23 \pm 2$  درجه سانتی‌گراد قرار گرفت.

برای بررسی میزان تورم و جذب از آزمون جذب آب استفاده شد. در این آزمون ابتدا نمونه‌ها وزن شده (وزن خشک)، پس از غوطه‌وری در محلول نمک بافر فسفاتی (PBS)، مجدداً وزن آن‌ها (وزن تر) اندازه‌گیری می‌شود و از معادله‌ی ۱ میزان جذب آب یا نرخ تورم (Sw)

$$\text{معادله‌ی ۱: } \% \text{SW} = [(W - W_0)/W_0] \times 100$$

که در اینجا  $W_0$  وزن خشک و  $W$  وزن فیلم در حالت تر می‌باشد.

به منظور بررسی میزان پایداری و اندازه‌گیری سرعت تخریب در محیط برون‌تن از آزمون زیست‌تخریب‌پذیری هیدرولیتیکی استفاده شد. در این آزمون ابتدا ترکیب وزن شد (وزن خشک) و به مدت ۱۴ روز در نمک بافر فسفاتی (PBS) قرار گرفت. در پایان هر ۲۴ ساعت وزن خشک نمونه اندازه‌گیری شد. درصد زیست‌تخریب‌پذیری (WL) نمونه‌ها با استفاده از معادله‌ی ۲ به دست آمد:

$$\text{معادله‌ی ۲: } \% \text{WL} = [(W_i - W_f)/W_i] \times 100$$

که در اینجا  $W_i$  وزن خشک و  $W_f$  وزن خشک نمونه بعد از تخریب‌شدن می‌باشد.

قالب یک فیلم به عنوان پوشش زخم تا کنون مورد بررسی قرار نگرفته است. هدف از مطالعه حاضر ساخت فیلم هیدروژلی با استفاده از روش ریخته‌گری حلal از ترکیب سه‌تایی پلی‌وینیل الکل/هیالورونیک اسید/ نانو اکسید روی است. آزمون‌های لازم برای امکان‌سنجی کارآیی فیلم مذکور برای کاربرد به عنوان زخم پوش انجام شد. انتظار می‌رود ترکیب مذکور قابلیت‌های موردنیاز را برای کاربردهای پوستی و ترمیم زخم داشته باشد.

## روش اجرا

### مشخصه‌ی مواد اولیه و ساخت

هر سه ماده‌ی هیالورونیک اسید (C14H21NO11)n، پلی‌وینیل الکل (C14H21NO11)n (۹۸۰۰-۹۸۰۰ g/mol) و نانو اکسید روی تولیدی شرکت سیگما آلدريچ بودند. سه فیلم با نسبت‌های مختلف طبق جدول ۱ با استفاده از روش ریخته‌گری حلal تهیه شدند. مقدار ZnO استفاده شده باید برای باکتری سمی ولی برای سلول انسان سمی نباشد ۱۵ لذا انتخاب درصد‌های متفاوت ZnO با توجه به کار تحقیقاتی Soubhagya و همکارانش<sup>۱۹</sup> انجام شد. مواد درون پتربیش ریخته شد و به مدت ۲۴ ساعت در آون قرار داده شدند تا حلal کاملاً تبخیر و نمونه‌ها خشک شوند.

برای مشخصه‌یابی نمونه‌های ساخته شده از طیفسنجی مادون قرمز تبدیل فوریه (FTIR) مدل SRG 1100G و میکروسکوپ الکترونی روبشی (SEM) مدل AIS2100 استفاده گردید.

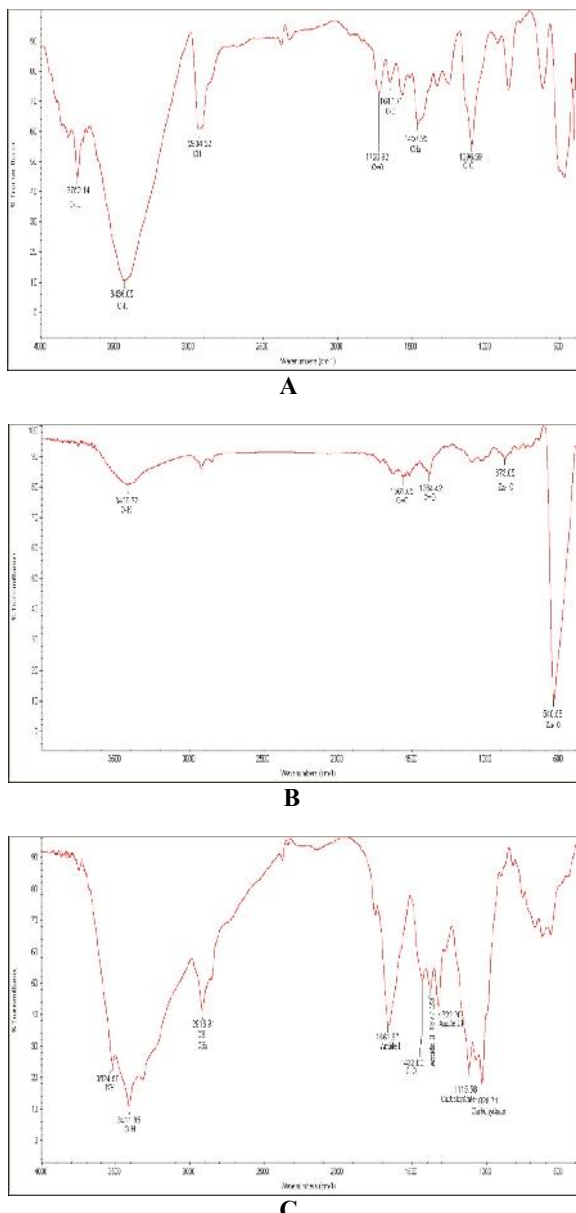
برای مطالعه‌ی ساختار کریستالی و بررسی ترکیب فازی نمونه‌ها، از آنالیز پراش تفرقی اشعه‌ی

جدول ۱: کدگذاری فیلم‌ها

کد نمونه	ترکیبات (درصد وزنی)
A	85%PVA-10%HA-5%ZnO
B	70%PVA-20%HA-10%ZnO
C	55%PVA-30%HA-15%ZnO

## یافته‌ها

شکل ۱، طیف FTIR پلی‌ونیل الکل، هیالورونیک اسید و نانو اکسید روی خالص را نشان می‌دهد. در شکل ۲ نیز طیف FTIR مربوط به ساختارهای ترکیبی برای درک تعامل احتمالی بین نانوذرات ZnO و ماتریس هیدروژل PVA-HA آمده است.



شکل ۱: طیف FTIR از (A) پلی‌ونیل الکل، (B) اکسید روی، (C) هیالورونیک اسید

یکی از بهترین روش‌های غیرمستقیم موجود برای تعیین ازدیاد سلول‌ها آزمون دی‌متیل تیازل دی‌فیل (MTT, Sigma, USA) است که بر پایهٔ تغییر پودر زردرنگ تترازولیوم به کریستال‌های نامحلول بنفسج مایل به سیاه فورمازان است که در پژوهش حاضر نیز استفاده شد. این پدیده تنها در سلول‌های زنده و با استفاده از آنزیم موجود در میتوکندری آن‌ها به نام سوکسینات دهیدروژناز اتفاق می‌افتد. کریستال‌های فورمازان با استفاده از حلآلی مثل ایزوپروپانول قابل حل گردید و چگالی نور (OD) حاصل از آن با استفاده از دستگاه الایزا ریدر (STAT FAX 2100, USA) خوانده شد. میزان چگالی نوری نسبت مستقیم با غلظت فورمازان داشته که آن هم متناسب با فعالیت متابولیکی سلول‌های زنده است. به همین منظور بررسی سمیت نمونه‌ها و تأثیر آن‌ها بر رشد و تکثیر سلول‌های فیبروبلاست (L929) تهیه شده از بانک سلولی انسنتیو پاستور ایران، فرآیند عصاره‌گیری براساس استاندارد ایزو ۱۰۹۹۳-۵ انجام شد که طی آن به هر نمونه استریل به‌ازای هر ۳ سانتی‌متر مربع سطح، مقدار یک میلی‌لیتر محیط کشت (DMEM) اضافه گردید. سپس بعد از گذشت ۷ روز محیط خارج و به سلول‌ها افزوده شد. چاهک دارای سلول‌های بیشتر چگالی نوری بالاتری نسبت به چاهک با سلول کمتر نشان می‌دهد بنابراین می‌توان از رابطه‌ی زیر چاهک دارای مقدار سلول بیشتر را مشخص کرد و با نمونه‌ی کنترل مقایسه نمود:

معادله‌ی ۳:

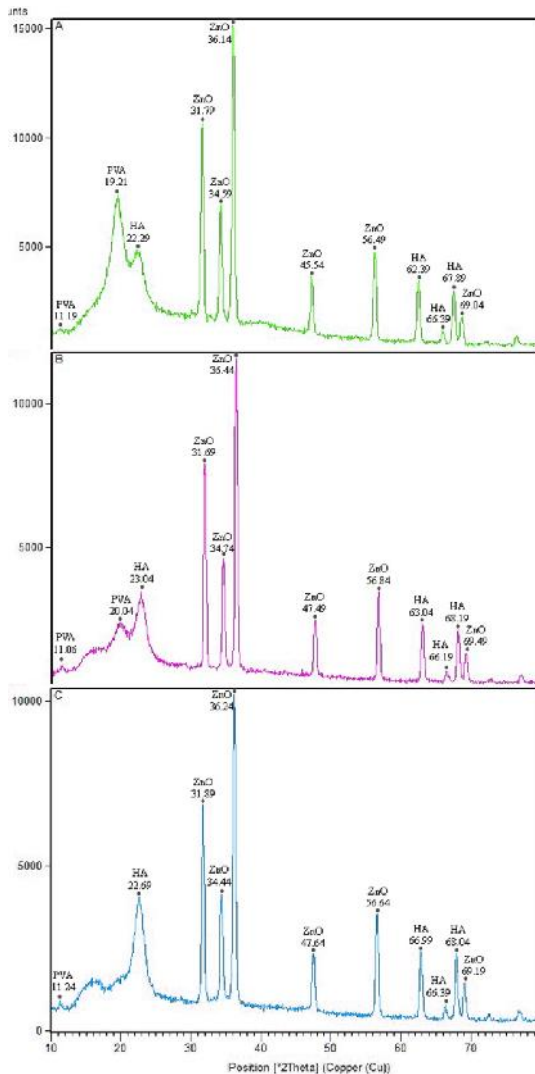
$$\text{Toxicity \%} = \frac{(1 - \frac{\text{mean OD of sample}}{\text{mean OD of control}})}{\text{mean OD of control}} \times 100$$

معادله‌ی ۴:  $\% \text{ Viability} = 100 - \% \text{ Toxicity}$

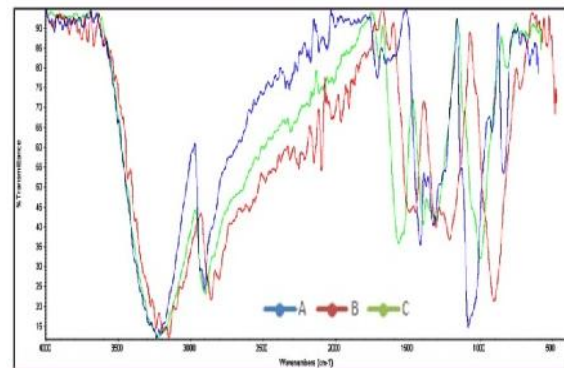
با استفاده از معادله‌ی ۳ درصد سمیت و معادله‌ی

۴ درصد زنده‌مانی سلول‌ها محاسبه می‌شود.

نتایج الگوهای XRD در شکل ۴ نشان داده شده است. در شکل ۵ نیز منحنی تنش (MPa) بر حسب درصد ازدیاد طول آمده است. فیلم A کمترین میزان جذب آب ( $47/16\%$ ) را دارد. اما با افزایش میزان ZnO و HA میزان جذب آب افزایش چشمگیری پیدا کرد به طوری که به ترتیب برای نمونه‌های B و C با  $11/28\%$  و  $20/20\%$  برابر بود. شکل ۶ نشان دهنده میزان تخریب نمونه‌ها است. همانطور که در نمودار مشخص است میزان تخریب در فیلم C بیشتر از B و A است.



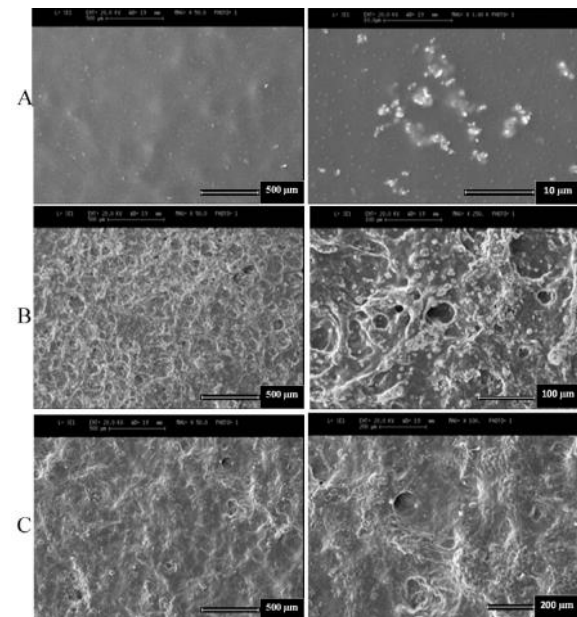
شکل ۴: آنالیز پراش تفرقی اشعه ایکس (XRD) فیلم‌های: ۸۵%PVA-۱۰%HA-۵%Zn (A) ۷۰%PVA-۲۰%HA-۱۰%ZnO (B) ۵۵%PVA-۳۰%HA-۱۵%ZnO (C)



شکل ۲: طیف FTIR از فیلم‌های: ۸۵%PVA-(A) ۷۰%PVA-۲۰%HA-۱۰%ZnO (B) ۵۵%PVA-۳۰%HA-۱۵%ZnO (C)

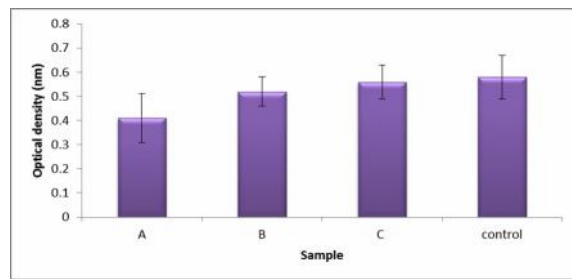
شکل A-۳ مربوط به تصویر میکروسکوپ الکترونی روبشی غشای A (۸۵%PVA-۱۰%HA-۵%Zn) در (B-۳ و C-۳) به ترتیب نشان دهنده تصویر SEM از فیلم‌های (۷۰%PVA-۲۰%HA- B) (۵۵%PVA-۳۰%HA-15%ZnO) (C) ۱۰%ZnO می‌باشد.

شکل (A) به ترتیب نشان دهنده تصویر SEM از فیلم‌های (۷۰%PVA-۲۰%HA- B) (۵۵%PVA-۳۰%HA-15%ZnO) (C) ۱۰%ZnO می‌باشد.

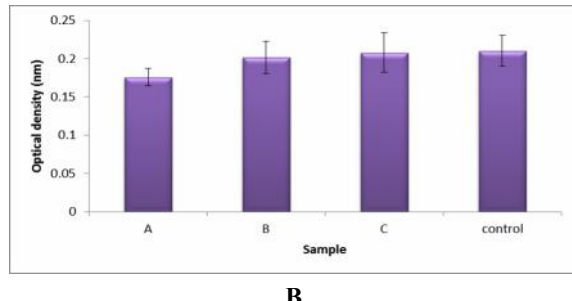


شکل ۳: تصویر میکروسکوپ SEM از فیلم‌های: ۸۵%PVA-۲۰%HA- (B) ۵۵%PVA-۳۰%HA-15%ZnO (C) ۱۰%ZnO

نتایج زنده مانی سلول L929 بر روی فیلم در شکل (b) ۸ ساعت (شکل a-۸) و ۷ روز (شکل ۸) در ۲۴ ساعت قرار گرفته است. بعد از گذشت ۲۴ ساعت تفاوت چندانی در تکثیر سلول‌ها مشاهده نشد. اما پس از گذشت ۷ روز زنده‌مانی سلول در فیلم C تفاوت معنی‌داری ( $P < 0.05$ ) را نشان داده است.



A

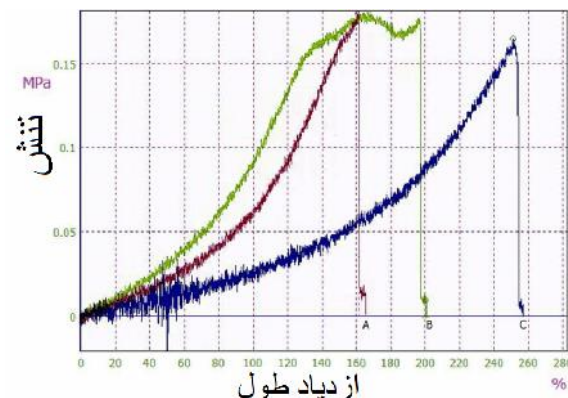


B

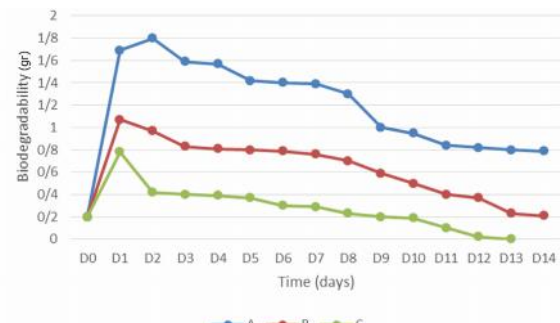
شکل ۸: نمودار ستونی نتایج (a) MTT در ۲۴ ساعت و (b) نتایج در ۷ روز. میزان جذب نور ۵۷۰ نانومتر، ۷۰%PVA-(A)، ۸۵%PVA-۱۰%HA-۵%ZnO (B)، ۵۵%PVA-۳۰%HA-۱۵%ZnO (C) و ۲۰%HA-۱۰%ZnO (D).

## بحث

در شکل ۱ باندهای  $\text{C-H}$   $2934\text{cm}^{-1}$ ،  $\text{OH}$   $3752\text{cm}^{-1}$  (باند کششی  $\text{OH}$  — غیرپیوندی) و  $\text{OH}$   $3436\text{cm}^{-1}$  (OH) قابل مشاهده است. انتظار می‌رود پیوندهای هیدروژنی درون مولکولی و بین مولکولی به دلیل نیروهای آب‌دوستی قوی، میان زنجیره‌های پلی‌وینیل الکل روی دهد. پیک  $1096\text{cm}^{-1}$  ( $\text{C-O}$ ) بلوری می‌باشد. این باند به عنوان ابزار ارزیابی ساختار پلی‌ونیل الکل مورد استفاده قرار می‌گیرد. پیک ضعیف در محدوده  $1720\text{cm}^{-1}$  ( $\text{C=O}$ ) با گروه وینیل استات

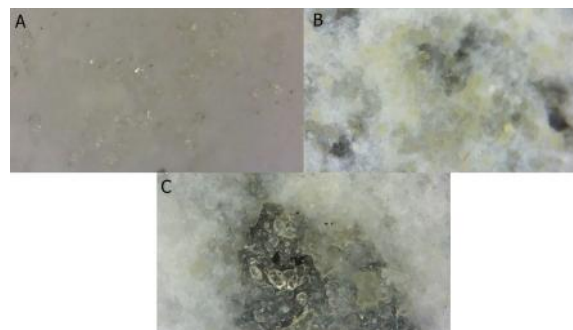


شکل ۵: منحنی تنش/درصد از دیاد طول، فیلم‌های: (A) ۷۰%PVA-۲۰%HA-(B) ۸۵%PVA-۱۰%HA-۵%Zn .۵۵%PVA-۳۰%HA-۱۵%ZnO (C) و ۱۰%ZnO



شکل ۶: تخریب پذیری بعد از ۱۴ روز، فیلم‌های: (A) ۷۰%PVA-۲۰%HA-(B) ۸۵%PVA-۱۰%HA-۵%Zn .۵۵%PVA-۳۰%HA-۱۵%ZnO (C) و ۱۰%ZnO

شکل ۷ تصویر میکروسکوپ نوری از فیلم‌ها و بررسی مورفولوژی سطحی آن‌ها بعد از ۷ روز فرآیند تخریب می‌باشد.



شکل ۷: تصویر میکروسکوپ نوری بعد از ۷ روز تخریب از فیلم: (A) ۷۰%PVA-(B) ۸۵%PVA-۱۰%HA-۵%Zn .۵۵%PVA-۳۰%HA-(C) ۲۰%HA-۱۰%ZnO .۱۵%ZnO

پیک‌های نشان‌دهنده‌ی اکسید روی عبارتند از  $831\text{cm}^{-1}$ ،  $835\text{cm}^{-1}$  و  $836\text{cm}^{-1}$ ،  $\text{Zn}-\text{O}$  ( $1579\text{cm}^{-1}$  و  $1540\text{cm}^{-1}$ )،  $\text{C}-\text{B}-2$  ( $\text{C}=\text{O}$ ) ( $1457\text{cm}^{-1}$  و  $1457\text{cm}^{-1}$ )،  $\text{C}-\text{C}$  ( $1647\text{cm}^{-1}$  و  $1457\text{cm}^{-1}$ ) و  $\text{O}-\text{H}$  ( $3420\text{cm}^{-1}$  و  $3411\text{cm}^{-1}$ ). همچنین افزايش مقدار اکسید روی در شکلهای پدیدار شدند.

همان طور که در تصاویر میکروسکوپ الکترونی روبشی (شکل ۳) مشخص است هیچگونه ترک و شکستگی بر روی سطح به وجود نیامده است. Imaan و همکاران نیز عنوان کردند که حاوی مقادیر بسیار اندکی از نانوذرات اکسید روی باشد عاری از ترک، شکستگی و ناهمواری است<sup>۱۸</sup>. با افزایش میزان نانوذرات اکسید روی و هیالورونیک اسید بر روی سطوح ناهمواری به وجود آمده است شکل (۳ و C). همچنین ایجاد تخلخل بر روی سطح، تأثیر دیگر افزایش دو ماده ذکرشده می‌باشد. اندازه‌ی متوسط حفره‌ها در فیلم‌های B و C به ترتیب برابر با  $23/69$  میکرومتر و  $3/86$  میکرومتر می‌باشد. نتایج حاکی از آن است که با افزایش نانوذرات اکسید روی و هیالورونیک اسید تخلخل به وجود آمده بزرگ‌تر می‌شود.

برای PVA، الگوهای XRD (شکل ۴) قله‌های کوچکی را در  $19/11^\circ$ ،  $19/11^\circ$  و  $69/11^\circ$  و  $24/11^\circ$  به ترتیب برای فیلم‌های A، B و C نشان می‌دهد که نشان‌دهنده‌ی فاصله بین مولکولی فاز آمورف است، ماهیت نیمه‌کریستالی فیلم را نشان می‌دهد. شدت پیک  $29/19^\circ$  در فیلم A بسیار قوی می‌باشد، اما با کاهش میزان درصد PVA در فیلم B شدت پیک هم کاهش می‌یابد که پیک  $2$  برابر با  $4/20^\circ$  است.

بدیهی است پیک‌هایی با وجود قله‌های تیز، نشان‌دهنده‌ی حضور نانوذرات ZnO هستند که باعث افزایش فاز کریستالی در تمام غشای فیلم‌های سنترشده می‌شود<sup>۱۹</sup>.

پیک‌های مربوط به نانوذرات ZnO در زاویه حدودی ۲ برابر  $29/31^\circ$ ،  $79/31^\circ$ ،  $59/34^\circ$ ،  $49/56^\circ$  و  $4/69^\circ$  در نمونه‌های مختلف

پلیوینیل الکل مطابقت دارد<sup>۲۰</sup>. همچنین مشاهده شدند.

اوج نانواکسید روی در باند  $540\text{cm}^{-1}$  می‌باشد، همچنین قله‌های  $1561\text{cm}^{-1}$  و  $1384\text{cm}^{-1}$  به دلیل ارتعاش کشش متقارن و نامتقارن گروه  $\text{C}=\text{O}$  از استات وجود حضور استون‌های آئیونی استات در سطح ZnO را نشان می‌دهد<sup>۲۱</sup>. قله‌ی پهن گسترده‌ی ضعیف در حدود  $3420\text{cm}^{-1}$  به دلیل ارتعاش کششی O-H است.

پیک‌های  $3524\text{cm}^{-1}$ ،  $3411\text{cm}^{-1}$  و  $2916\text{cm}^{-1}$  به ترتیب مربوط به پیوندهای OH، NH و CH متقارن و CH2 نامتقارن است. همچنین پیک‌های  $1322\text{cm}^{-1}$ ،  $1377\text{cm}^{-1}$  و  $1661\text{cm}^{-1}$  به ترتیب مربوط به آمید I، II و III می‌باشند. پیک‌های  $1256\text{cm}^{-1}$  (C-O) و  $1433\text{cm}^{-1}$  (C-O) مربوط به  $\text{COOH}$  از  $1115\text{cm}^{-1}$  و  $1028\text{cm}^{-1}$  مربوط به کربوهیدرات‌ها می‌باشند. پیک‌های شناسایی شده با Chen و همکاران مطابقت دارند<sup>۲۲</sup>.

در تجزیه و تحلیل FTIR (شکل ۲) می‌توان گفت که پیک‌های  $3238\text{cm}^{-1}$ ،  $3188\text{cm}^{-1}$  و  $3233\text{cm}^{-1}$  مربوط به گروه OH، پیک‌های  $1709\text{cm}^{-1}$  و  $1715\text{cm}^{-1}$  نشان‌دهنده‌ی ارتعاش کششی  $\text{C}=\text{O}$  و پیک قوی  $1082\text{cm}^{-1}$  مربوط به گروه C-O می‌باشد. پیک‌های  $2906\text{cm}^{-1}$  و  $2909\text{cm}^{-1}$  مربوط به CH متقارن و CH2 نامتقارن هستند. در شکل (A-۲) پیک  $2904\text{cm}^{-1}$  به علت مقدار بیشتر پلیوینیل الکل شدت بیشتری یافته است. پیک‌های فوق الذکر نشان‌دهنده‌ی حضور مؤثر پلیوینیل الکل در سه فیلم می‌باشد.

پیک‌های  $1647\text{cm}^{-1}$  (آمید I) و  $1322\text{cm}^{-1}$ ،  $1314\text{cm}^{-1}$  و  $1322\text{cm}^{-1}$  (آمید III) و  $1413\text{cm}^{-1}$ ،  $1411\text{cm}^{-1}$  و  $1400\text{cm}^{-1}$  (C-O) متنقارن نشان‌دهنده‌ی حضور هیالورونیک اسید هستند.

تأثیر می‌گذارد و نقش مهمی در هدایت یون‌ها دارد. غشای هیدراته باعث هدایت یون‌ها می‌شود زیرا آب باعث افزایش تحرک یون‌ها در غشا می‌شود.<sup>۱۸</sup> Wu و همکاران افزایش HA را موجب جذب آب بیشتر می‌دانند.<sup>۲۰</sup>

نتایج به دست آمده از شکل ۶ گواه بر آن است که مقدار بیشتر ZnO که باعث ظهور بیشتر تخلخل می‌شود و HA به دلیل باندهای بیولوژیکی موجب افزایش سرعت تخریب فیلم می‌شود.

در مورد تصویر میکروسکوپ نوری (شکل A-۷) می‌توان گفت در فیلم A حفرات ایجاد شده در اثر تخریب، بسیار کوچک هستند. همچنین مشخص است که فیلم A طی ۷ روز چندان تخریب نشده است. شکل B-۷ مربوط به تخریب فیلم B می‌باشد. همانطور که نمایان است، نسبت تخریب فیلم B به فیلم A بسیار بیشتر می‌باشد چراکه سطح بیشتری از فیلم تخریب شده است. شکل C-۷ نشان از تخریب بیشتر فیلم C نسبت به دیگر فیلم‌ها را دارد و سطح وسیعی از فیلم تخریب شده است. می‌توان نتیجه گرفت که افزایش درصد ZnO تأثیر بسزایی بر سرعت تخریب فیلم پلیمری دارد. می‌توان از روی منحنی‌ها نتیجه گرفت پایداری فیلم‌های A، B و C به ترتیب بیش از ۱۴، حدود ۱۴ و ۱۰ روز می‌باشد.

در خصوص نتایج حاصل از زنده‌مانی سلولی (شکل ۸) می‌توان بیان کرد که حضور نانو ذرات اکسید روی تأثیر بسزایی بر چسبندگی، رشد و تکثیر سلولی دارد. میزان درصد زنده‌مانی سلول بر روی فیلم A در ۲۴ ساعت اول برابر ۸۱/۸۳٪ است که بعد از گذشت ۷ روز این میزان کمتر شده و به ۶۹/۷۰٪ رسید. با افزایش هیالورونیک اسید و نانو ذرات اکسید روی در فیلم‌های B و C درصد زنده‌مانی سلول افزایش یافته است و به ترتیب در ۲۴ ساعت اول این مقدار برابر ۲/۹۶٪ و ۰/۰۵٪ بیان شده است که بعد از ۷ روز برابر با ۹۶/۵۶٪ و ۰/۶۶٪ می‌باشد. بعد از گذشت هفت روز

دیده شده است.

پیک در محدوده ۲۹/۲۲° برای نمونه‌ی A مؤید حضور HA است که افزایش درصد وزنی آن در نمونه‌ی B موجب تشدید پیک در ۰۴/۲۳° شده است. پیک قوی ۶۹/۲۲° در فیلم C نیز نشانه‌ی HA می‌باشد. همچنین پیک‌های ۳۹/۶۶°، ۱۹/۶۸° و ۱۹/۶۶° برای نمونه‌ی A، ۰۴/۶۳° و ۰۴/۶۸° برای فیلم B برابر با ۳۹/۶۶°، ۹۹/۶۶° و ۰۴/۶۸° گواه بر حضور HA هستند. نتایج به دست آمده با مطالعات Chen<sup>۲۶</sup> و Nath<sup>۲۵</sup> تطابق دارد.

خواص مکانیکی مواد زیستی بسیار مهم است چراکه تأثیر قابل توجهی بر رفتار و شکل سلولی دارد. تحقیقات نشان داده‌اند داربست‌هایی که سختی کمی دارند سلول‌های گرد را تشکیل می‌دهند در حالی که داربست‌هایی که سختی بالایی دارند منجر به تشکیل شکل‌های سلولی دوک مانند و کشیده می‌شوند. بافت‌ها و ارگان‌های بدن با توجه به نوع عملکردشان خواص مکانیکی متفاوتی نشان می‌دهند. پوست تغییر شکل سیکلی متناظری را تحمل می‌کند. همان‌طور که از شکل ۵ پیدا است فیلم C بیشترین درصد از دیاد طول را دارد. درصد از دیاد طول به ترتیب برای فیلم‌های A، B و C برابر است با ۰/۱۵۹٪، ۰/۱۶۶٪ و ۰/۲۴٪ که این روند افزایشی علی‌رغم افزایش میزان ZnO بوده است. حضور ZnO در تست کشش برای حرکت بخش‌های زنجیره‌ای پلیمر PVA محدودیت ایجاد می‌کند اما حضور هیالورونیک اسید بیشتر مسبب آن بوده است. افزایش درصد از دیاد طول با نتایج Imaan<sup>۱۸</sup> و همکاران هماهنگ می‌باشد. گسترده‌گی ناحیه‌ی میانی منحنی مربوط به نمونه‌ی B بیشتر از دو نمونه دیگر است که به حضور تخلخل‌های بیشتر در آن است که در تصاویر میکروسکوب الکترونی آن نیز مشهود است. افزایش میزان ZnO و HA باعث از دیاد جذب آب شده است. Imman<sup>۱۸</sup> و همکاران اعتقاد دارند که جذب آب به شدت بر خواص غشاء داربست

نانواکسید روی است. بررسی ریزساختار فیلم‌ها با استفاده از آنالیز پراش تفرقی اشعه ایکس حضور ZnO را تأیید کردند. در بررسی خواص مکانیکی مشخص شد که با افزایش ZnO میزان درصد ازدیاد طول افزایش می‌یابد.

فیلم C بیشترین میزان تورم را دارد. در بررسی‌های زیست‌تخربی‌پذیری وزن فیلم C در روز ۱۳ به صفر گرم رسیده است. با افزایش ZnO و HA تخریب فیلم‌ها نیز افزایش یافته‌اند. نتایج تست MTT طی مدت ۷ نشان داد که بالاترین زندehمانی سلولی مربوط به فیلم C می‌باشد. ساختار ترکیبات جدید و خواص زیستی فیلم‌های ساخته‌شده مناسب‌تر گزارش شده است، بنابراین کاربرد آن در برنامه‌های بازسازی زخم به عنوان زخم پوش می‌تواند امیدبخش باشد.

میزان درصد زندehمانی سلول‌ها در نمونه C بیشتر از A و B می‌باشد. یافته‌ها با نتایج مطالعات مشابه حاوی اکسید روی همخوانی دارد. غلظت بالاتر یون‌های آزاد اکسید روی منجر به عدم تعادل در هموستاز و باعث واکنش‌های سلولی از جمله سمیت سلولی، آسیب DNA و فرآیندهای التهابی می‌شود<sup>۱۵ و ۲۷</sup>.

در این مطالعه به دلیل استفاده از غلظت‌های MTT بهینه‌ی اکسید روی تأثیرات منفی در تست C مشاهده نشده است. در این مطالعه سه فیلم A، B و C از جنس پلیوینیل الکل/هیالورونیک اسید/نانوذرات اکسید روی با نسبت‌های متفاوت ساخته شدند. گراف‌های طیف‌سنجدی مادون قرمز تبدیل فوریه گواهی بر حضور گروه‌های عاملی مربوط به هر سه ماده می‌باشد. بررسی مورفولوژی سطحی نمونه‌ها نشان‌دهنده‌ی ایجاد تخلخل با افزایش میزان درصد

## References

- Pereira RF, Carvalho A, Gil MH, et al. Influence of aloe vera on water absorption and enzymatic in vitro degradation of alginate hydrogel films. *Carbohydr Polym*. 2013; 98(1): 311-20.
- Johansen E, Lind R, Sjøbø B, et al. Moisture associated skin damage (MASD) in intensive care patients: A Norwegian point-prevalence study. *Intensive Crit Care Nurs*. 2020; 102889.
- Ghaderi R. Efficacy of epiglue, suture, honey and animal oil in accelerating healing of full thickness wound of skin in mice. *J Invest Dermatol*. 2005; 125(3): 136-43.
- Sandri G, Bonferoni MC, Ferrari F, et al. Montmorillonite–chitosan–silver sulfadiazine nanocomposites for topical treatment of chronic skin lesions: in vitro biocompatibility, antibacterial efficacy and gap closure cell motility properties. *Carbohydr Polym*. 2014; 102: 970-7.
- Guillén-Solà M, Mieras AS, Tomàs-Vidal AM, et al. A multi-center, randomized, clinical trial comparing adhesive polyurethane foam dressing and adhesive hydrocolloid dressing in patients with grade II pressure ulcers in primary care and nursing homes. *BMC Fam Pract*. 2013; 14(1): 196.
- Dong Y, Hassan WU, Kennedy R, et al. Performance of an in situ formed bioactive hydrogel dressing from a PEG-based hyperbranched multifunctional copolymer. *Acta Biomater*. 2014; 10(5): 2076-85.
- Moritz S, Wiegand C, Wesarg F, et al. Active wound dressings based on bacterial nanocellulose as drug delivery system for octenidine. *Int J Pharm*. 2014; 471(1-2): 45-55.
- Yahyavi M. Polyvinyl Alcohol Biodegradable Nanocomposites, Reinforced with Nanocellulose. *Besparesh* 2014; 4(3): 82-90 (perian).

9. Zeynali MR, Nazari M, Karimi S, et al. Prediction of polyvinyl alcohol (PVOH) properties synthesized at various conditions by artificial neural networks technique. *Iran J Chem Eng.* 2017; 14(2): 3-16 (Persian).
10. Norouzi M, Ghasemi-Mobarakeh L, Morshed M. Fabrication of antibacterial poly (vinyl alcohol) microfibers mat for wound dressing application. *Iran J Polym Sci Technol* 2016; 29: 15-25 (Persian).
11. Fotouhi Chahuki F, Aminzadeh S, Jafarian V, et al. Screening of HA-producing lactic acid bacteria and culture condition optimization of selected bacterium by Taguchi method. *J Cell Mol Res (Iranian J Biol)*. 2018;31(4): 511-20 (Persian).
12. Ghanbari H, Sagharvania N, ZakeryM, et al. The histological study of the effect of hyaluronic acid and curcuma longa-GHEE compound on the gingival healing following gingivectomy in dogs. *J of Dentistry (Shiraz University of Medical Sciences)* 2008; 9: 222-34 (Persian).
13. Mirhosseini M, Yazdani N, Dehghan Hamdan A. Investigation of antimicrobial properties of chitosan-ZnO nanocomposite. *Razi J Med Sci.* 2016; 23(147): 104-14 (Persian).
14. Nakhaei Moghaddam M, Najafi M. Effect of zinc oxide nanoparticles on the pigment production of clinical isolates of *pseudomonas aeruginosa*. *SJIMU.* 2017; 24(6): 107-16 (Persian).
15. Rajaei S, Mohammadi Sichani M, Mohammad Yousefi H. Study on the inhibitory activity of zinc oxide nanoparticles against *Pseudomonas aeruginosa* isolated from burn wounds. *Qom Univ Med Sci J.* 2015;9 (1) :30-7 (Persian).
16. Norouzi MA, Montazer M, Harifi T, et al. Flower buds like PVA/ZnO composite nanofibers assembly: Antibacterial, in vivo wound healing, cytotoxicity and histological studies. *Polymer Testing* 2021; 93:106914 (Persian).
17. Ebrahimi S, Hayati Roodbari N, Parivar K, et al. Investigation of the effect of nano zinc oxide on skin burns in adult female mouse. *Medical Sciences* 2015; 25 (4): 257-62 (Persian).
18. Imaan DU, Mir FQ, Ahmad B. Synthesis and characterization of a novel poly (vinyl alcohol)-based zinc oxide (PVA-ZnO) composite proton exchange membrane for DMFC. *Int J Hydrogen Energy* 2020; (in press).
19. Soubhagya AS, Moorthi A, Prabaharan M. Preparation and characterization of chitosan/pectin/ZnO porous films for wound healing. *Int J Biol Macromol* 2020; 157: 134-45.
20. Wu X, Li W, Chen K, et al. A tough PVA/HA/COL composite hydrogel with simple process and excellent mechanical properties. *Mater Today Commun.* 2019; 21: 100702.
21. Bromiley GW. The International Standard Bible Encyclopedia. Wm. B. Eerdmans Publishing; 1995.
22. Kumaraswamy S, Babaladimath G, Badalamoole V, et al. Gamma irradiation synthesis and in vitro drug release studies of ZnO/PVA hydrogel nanocomposites. *Adv Mater Lett.* 2017;8: 546-52.
23. Martinez CR, Joshi P, Vera JL, et al. Cytotoxic studies of PEG functionalized ZnO nanoparticles on MCF-7 cancer cells. In: NSTI Nanotechnol. Conf. Expo, NSTI-Nanotech; 2011.
24. Chen H, Qin J, Hu Y. Efficient degradation of high-molecular-weight hyaluronic acid by a combination of ultrasound, hydrogen peroxide, and copper ion. *Molecules.* 2019; 24(3): 617.
25. Chen K, Liu J, Yang X, et al. Preparation, optimization and property of PVA-HA/PAA composite hydrogel. *Mater Sci Eng C.* 2017; 78: 520-29.

26. Nath SD, Abueva C, Kim B, et al. Chitosan–hyaluronic acid polyelectrolyte complex scaffold crosslinked with genipin for immobilization and controlled release of BMP-2. Carbohydr Polym. 2015; 115: 160-9.
27. Manuja A, Raguvaran R, Kumar B, et al. Accelerated healing of full thickness excised skin wound in rabbits using single application of alginate/acacia based nanocomposites of ZnO nanoparticles. Int J Biol Macromol 2020;155: 823-33.

## Synthesis and evaluation of nanohydrogel film containing polyvinyl alcohol/hyaluronic acid/zinc oxide for wound dressing

Malahat Khateri Roodbordeh, MSc  
Nahid Hassanzadeh Nemati, PhD

Department of Biomedical Engineering,  
Faculty of Medical Science and  
Technology, Islamic Azad University,  
Science and Research Branch, Tehran, Iran

**Background and Aim:** Lesions of the skin can impair its vital function to protect humans against external pathogens. Therefore, producing a suitable wound dressing to repair injuries is always one of the challenges of researchers. The present study aims to Synthesize a hydrogel film for wound dressing applications.

**Methods:** In this research, a hydrogel film of polyvinyl alcohol / hyaluronic acid / nano zinc oxide was fabricated for application as a wound dressing. For this purpose, three films with different percentages were prepared using the solvent casting method. The synthesized samples were characterized using FTIR, SEM, XRD, and tensile tests.

**Results:** Evaluation of the morphology of the samples showed that the increase of zinc oxide nanoparticles led to porosity and growth of their size in the films. It was also characterized that the percentage of film elongation increased with increasing nanoparticles of zinc oxide and hyaluronic acid. The elongation percentage from the lowest amount of nano zinc oxide to the maximum (5, 10 and 15% of weight was 159%, 166%, and 230%, respectively. The MTT study indicated the cell viability above 80% in all three films.

**Conclusion:** A film containing 15% zinc oxide can be a suitable option for using in tissue engineering and wound dressing.

**Keywords:** zinc oxide, polyvinyl alcohol, solvent casting, hyaluronic acid, skin regeneration

Received: Nov 29, 2020 Accepted: Jan 19, 2021

Dermatology and Cosmetic 2020; 11 (4): 256-267

**Corresponding Author:**  
Nahid Hassanzadeh Nemati, PhD

Shohaday-Hesarak Blvd., University Square, Satari Highway, Science and Research Branch, Islamic Azad University Email: nahid\_hasanzadeh@yahoo.com

**Conflict of interest:** None to declare